Beiblatt 1/2

Erläuterungen zu den Querschnitts- und Tragfähigkeitswerten (DIN EN 1993-1-3)

Interaktionsbeziehung für M und V (elastisch-elastisch)

$$\frac{V_{Ed}}{V_{w,Rk}/\gamma_{M0}} \le 0.5$$

$$\frac{V_{Ed}}{V_{w,Rk}/\gamma_{M0}} \le 0,5$$
 $\frac{M_{Ed}}{M_{c,Rk,B}/\gamma_{M0}} \le 1$

$$\frac{V_{Ed}}{V_{W.RK}/y_{M0}} > 0.5$$

gilt Gleichung 6.27 (EN 1993-1-3), die im Sinne der Sicherheit vereinfacht werden kann:

$$\frac{M_{Ed}}{M_{c,Rk,B}/\gamma_{M0}} + \left(2 \cdot \frac{V_{Ed}}{V_{w,Rk}/\gamma_{M0}} - 1\right)^2 \le 1$$



Interaktionsbeziehung für M und R (elastisch-elastisch)

Sind keine Werte für R⁰_{Rk,B} angegeben, ist kein Interaktionsnachweis zu führen.

Lineare Interaktionsbeziehung für M und R:

$$\frac{M_{Ed}}{M_{c,Rk,B}/\gamma_{M0}} \leq 1 \text{ und } \frac{F_{Ed}}{R_{w,Rk,B}/\gamma_{M1}} \leq 1 \qquad \frac{M_{Ed}}{M_{Rk,B}^{0}/\gamma_{M0}} + \frac{F_{Ed}}{R_{Rk,B}^{0}/\gamma_{M1}} \leq 1$$

$$\frac{M_{Ed}}{M_{Rk}^{0} B/\gamma_{M0}} + \frac{F_{Ed}}{R_{Rk}^{0} B/\gamma_{M1}} \le 1$$

Für rechnerisch ermittelte Werte gilt:

$$M_{Rk,B}^0 = 1,25 \cdot M_{c,Rk,B}$$
 und $R_{Rk,B}^0 = 1,25 \cdot R_{w,Rk,B}$

Quadratische Interaktionsbeziehung für M und R:

$$\frac{M_{Ed}}{M_{c,\,Rk,B}/\gamma_{M0}} \, \leq \, 1 \ \, und \, \, \frac{F_{Ed}}{R_{w,Rk,B}/\gamma_{M1}} \, \leq \, 1 \qquad \qquad \frac{M_{Ed}}{M_{Rk,\,B}^0/\gamma_{M0}} \, + \, \left(\frac{F_{Ed}}{R_{Rk,\,B}^0/\gamma_{M1}}\right)^2 \, \leq \, 1$$

$$\frac{M_{Ed}}{M_{Rk,B}^{0}/\gamma_{M0}} + \left(\frac{F_{Ed}}{R_{Rk,B}^{0}/\gamma_{M1}}\right)^{2} \le 1$$

- Werden quer zur Spannrichtung und rechtwinklig zur Profilebene Linienlasten in das Trapezprofil eingeleitet, so ist der Nachweis der Tragfähigkeit aus der umgekehrten Profillage als Interaktionsnachweis (vgl. Fußnote 2) durchzuführen.
- Für kleinere Zwischenauflagerlängen las angegeben, müssen die aufnehmbaren Tragfähigkeitswerte linear im entsprechenden Verhältnis reduziert werden. Für laß < 10 mm, z.B. bei Rohren, darf maximal der Wert für laB = 10 mm eingesetzt werden
- Bei Auflagerlängen, die zwischen den aufgeführten Auflagerlängen liegen, dürfen die aufnehmbaren Tragfähigkeitswerte jeweils linear interpoliert werden.
- Der Profilüberstand für die wirksame Auflagerlänge la,A1 ist mit c ≥ 40 mm einzuhalten. Die Auflagerlänge la,A2 entspricht der wirksamen Auflagerlänge einschließlich des Profilüberstandes c. Die hier angegebenen Auflagerkräfte Rw.Rk.A sind experimentell bestätigte oder von diesen abgeleitete Werte.
- Die Werte gelten nur für $\beta_v \le 0.2$. Für $\beta_v \ge 0.3$ ist der Nachweis mit $I_{a,B} = 10$ mm zu führen.

Tragfähigkeitsnachweis (plastisch-plastisch) für andrückende Einwirkungen:

Stützmomente sind auf die sich aus den jeweils angrenzenden Feldlängen ergebenden Reststützmomente Mc,RK,F/YMO zu begrenzen.

Für das damit unter Bemessungslasten entstehende maximale Feldmoment muss gelten:

$$M_{Ed} \leq M_{c,Rk,F}/\gamma_{M0}$$

Außerdem ist für die im Endfeld entstehende Endauflagerkraft folgende Bedingung einzuhalten:

$$F_{Ed} \leq F_{w,Rk,A}/\gamma_{M1}$$

Für den Nachweis der Gebrauchstauglichkeit ist am elastischen System nachzuweisen, dass bei gleichzeitigem Auftreten von Stützmoment und Auflagerkraft an einer Zwischenstütze die 0,9-fache Beanspruchbarkeit nicht überschritten wird (vgl. Fußnote 2)

Sind keine Werte für Reststützmomente angegeben, ist beim Tragfähigkeitsnachweis M_{R.Rk}/_{YM0} = 0 zu setzen.

- Bei Verbindung in jedem 2. Gurt müssen die angegebenen Werte halbiert werden.
- 10) Kalottenlänge ≥ 50 mm.
- Wirksame Trägheitsmomente für die Lastrichtung nach unten (+) bzw. oben (-).
- 12) Wirksamer Querschnitt für eine konstante Druckspannung $\sigma = f_{y,k}$.
- Maximale Stützweiten, bis zu denen das Trapezprofil ohne lastverteilende Maßnahmen begangen werden darf.

Beiblatt 2/2

Erläuterungen zu den Schubfeldwerten (DIN EN 1993-1-3)

Der Grenzwert der Beanspruchbarkeit zur Einhaltung des maximalen Gleitwinkels 1/750 ergibt sich al

$$T_{\text{Cd}} = \frac{G_{\text{S}}}{750} \cdot \frac{1}{Y_{\text{M,ser}}} = \frac{1}{750} \cdot \frac{1}{\left(K_1 + K_2/L_{\text{S}}\right)} \cdot \frac{1}{Y_{\text{M,ser}}} \quad \text{mit L}_{\text{S}} = \text{Gesamtlänge des Schubfeldes in } \frac{1}{M_{\text{S}}} = \frac{1}{M_{\text{S}}} \cdot \frac{1}{M_{\text{S}}} \cdot \frac{1}{M_{\text{S}}} = \frac{1}{M_{\text{S}}} = \frac{1}{M_{\text{S}}} \cdot \frac{1}{M_{\text{S}}} = \frac{1}{$$

Die Schubsteifigkeit S in kN zur Berechnung der Gesamtverformung des Schubfeldes ergibt sich zu

$$S = \frac{L_S}{\left[\left(K_1 + K_1^* \cdot e_L \right) + \left(K_2 + K_2^* \right) / L_S \right]}$$
 mit e_L = Abstand der Verbindungselemente in den Längsstößer

Falls keine weiteren Angaben gemacht werden, gelten die angegebenen K*- Werte für Unterkonstruktionen aus

Der globale Beulschubfluss ist an die vorhandenen Stützweiten anzupassen:

$$T'_{Rk,g} = T_{Rk,g} \cdot (L_R/L_{Si})^2$$
 mit L_{Si} = maximale Einzelstützweite in m. Für Einfeldträger kann $T_{Rk,g}$ verdoppelt werden.

Im Grenzzustand der Gebrauchstauglichkeit ist nachzuweisen:

$$T_{Ed} \leq T_{Cd}$$
 und $T_{Ed} \leq T_{b,Ck}/\gamma_{M,sec}$

 $T_{Ed} \leq T_{Cd} \quad \text{und} \quad T_{Ed} \leq T_{b,Ck}/\gamma_{M,\,\text{ser}} \qquad \begin{array}{l} \text{Der Nachweis von } T_{b,Ck} \, \text{ist nur bei bitumin\"os verklebten} \\ \text{Dachaufbauten erforderlich.} \end{array}$

Im Grenzzustand der Tragfähigkeit ist nachzuweisen:

$$T_{Ed} \le T_{Rk,l}/\gamma_{M1}$$
 und $T_{Ed} \le T'_{Rk,g}/\gamma_{M1}$

Die Bemessungswerte der Quer- und Auflagerkräfte sind um F_{Ed,S} = ± K₃ · T_{Ed} zu vergrößern.

Sonderausführungsarten der Befestigung:

Eine Sonderausführung der Befestigung ist gegeben, wenn jede Rippe mit je einem Befestigungselement unmittelbar neben jedem Steg des Trapezprofils (siehe Bild 1) befestigt wird. Alternativ darf eine runde oder rechteckige Unterlegscheibe (siehe Bild 2), die unter das mittig eingebrachte Befestigungselement anzuordnen ist, verwendet werden. Die Unterlegscheibe muss den Untergurt in seiner gesamten ebenen Breite überdecken.

Für die Scheibendicke d gilt:

$$d \ge 2.7 \cdot t_{cor} \cdot \sqrt[3]{\frac{1}{c_u}} \ge 2.0 \,\text{mm}$$

 $d \, \geq \, 2,7 \, \cdot \, t_{cor} \, \cdot \, \sqrt[3]{\frac{1}{c_{_{11}}}} \, \geq \, 2,0 \, mm \qquad \qquad \begin{array}{c} \text{mit} \quad I \quad = \, \text{Untergurtbreite des Trapezprofills} \\ c_{_{11}} \, = \, Breite \, der \, Unterlegscheibe \, in \, Trapezprofillängsrichtung \, oder \, \\ \end{array}$ Durchmesser der Unterlegscheibe

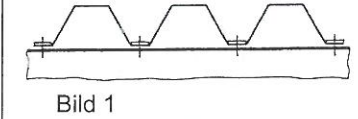


Bild 2

Einzellasten Ftak in kN je Rippe für die Einleitung in Trapezprofile in Spannrichtung ohne Lasteinleitungsträger.

Bei exzentrischer Lasteinleitung, z.B. aus der Weiterleitung der Kräfte aus dem Festpunkt der Außenschale zweischaliger Dächer in das Schubfeld, ist zusätzlich nachzuweisen:

$$T_{Ed} \leq T_{t,Rk}/\gamma_{M0}$$

Erläuterungen zu den Schubfeld-Beiwerten

	Wert		Einheit
	K_1	Konstante zur Gleitwinkelberechnung	m/kN
	K_2	Konstante zur Gleitwinkelberechnung	m^2/kN
	K_1^*	Konstante zur Gesamtverformungsberechnung	1/kN
	K_2^*	Konstante zur Gesamtverformungsberechnung	m^2/kN
	K ₃	Faktor für die Endauflager- und Querkraft	-
	L_{R}	Referenzlänge (Einzelstützweite) für T _{Rk,g}	m
	Lsi	Einzelstützweite	m
	$T_{Rk,g}$	globaler Beulschubfluss bei L _R	kN/m
	$T_{Rk,I}$	Kleinstwert aus dem lokalen Beulschubfluss und dem Spannungsnachweis	kN/m
	$T_{\text{b,Ck}}$	Grenzschubfluss für die Relativverformung h/20, h = Profilhöhe	kN/m
	$T_{t,Rk}$	Grenzschubfluss zur Begrenzung der Querbiegespannung	kN/m